

Eingabe: Farbmétrisches Fernseh-Licht-System TLS18

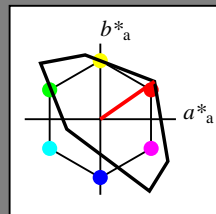
für Buntton  $h^* = lab^*h = 35/360 = 0.097$

LAB\*LCH, LAB\*NCH

D65: Buntton O

LCH\*Ma: 53 87 35

olv\*Ma: 1.0 0.0 0.0



TLS18; adaptierte CIELAB-Daten

	$L^* = L^*_a$	$a^*_a$	$b^*_a$	$C^*_{ab,a}$	$h^*_{ab,a}$
O <sub>Ma</sub>	52.76	71.63	49.88	87.29	35
Y <sub>Ma</sub>	92.74	-20.02	84.97	87.3	103
L <sub>Ma</sub>	84.0	-78.98	73.94	108.2	137
C <sub>Ma</sub>	87.14	-44.41	-13.11	46.32	196
V <sub>Ma</sub>	35.47	64.92	-95.06	115.12	304
M <sub>Ma</sub>	59.01	89.33	-55.67	105.26	328
N <sub>Ma</sub>	18.01	0.0	0.0	0.0	0
W <sub>Ma</sub>	95.41	0.0	0.0	0.0	0
R <sub>CIE</sub>	39.92	58.74	27.99	65.07	25
J <sub>CIE</sub>	81.26	-2.88	71.56	71.62	92
G <sub>CIE</sub>	52.23	-42.41	13.6	44.55	162
B <sub>CIE</sub>	30.57	1.41	-46.46	46.49	272

CIELAB-Helligkeit  $L^*$

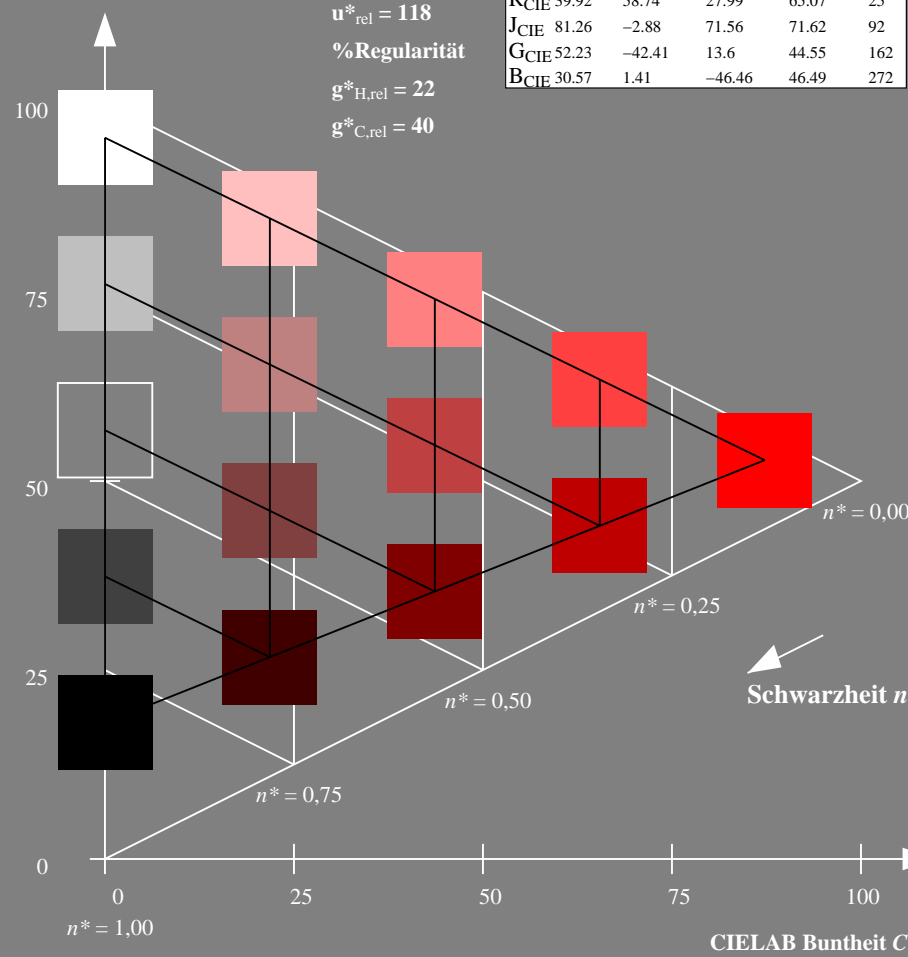
%Umfang

$u^*_{rel} = 118$

%Regularität

$g^*_{H,rel} = 22$

$g^*_{C,rel} = 40$



NG390-7, 5 stufige Reihen für konstanten CIELAB Bunnton 35/360 = 0.097 (links)

Ausgabe: Farbmétrisches Fernseh-Licht-System TLS18

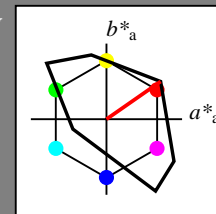
für Buntton  $h^* = lab^*h = 35/360 = 0.097$

LAB\*LCH, LAB\*NCH

D65: Buntton O

LCH\*Ma: 53 87 35

olv\*Ma: 1.0 0.0 0.0



TLS18; adaptierte CIELAB-Daten

	$L^* = L^*_a$	$a^*_a$	$b^*_a$	$C^*_{ab,a}$	$h^*_{ab,a}$
O <sub>Ma</sub>	52.76	71.63	49.88	87.29	35
Y <sub>Ma</sub>	92.74	-20.02	84.97	87.3	103
L <sub>Ma</sub>	84.0	-78.98	73.94	108.2	137
C <sub>Ma</sub>	87.14	-44.41	-13.11	46.32	196
V <sub>Ma</sub>	35.47	64.92	-95.06	115.12	304
M <sub>Ma</sub>	59.01	89.33	-55.67	105.26	328
N <sub>Ma</sub>	18.01	0.0	0.0	0.0	0
W <sub>Ma</sub>	95.41	0.0	0.0	0.0	0
R <sub>CIE</sub>	39.92	58.74	27.99	65.07	25
J <sub>CIE</sub>	81.26	-2.88	71.56	71.62	92
G <sub>CIE</sub>	52.23	-42.41	13.6	44.55	162
B <sub>CIE</sub>	30.57	1.41	-46.46	46.49	272

CIELAB-Helligkeit  $L^*$

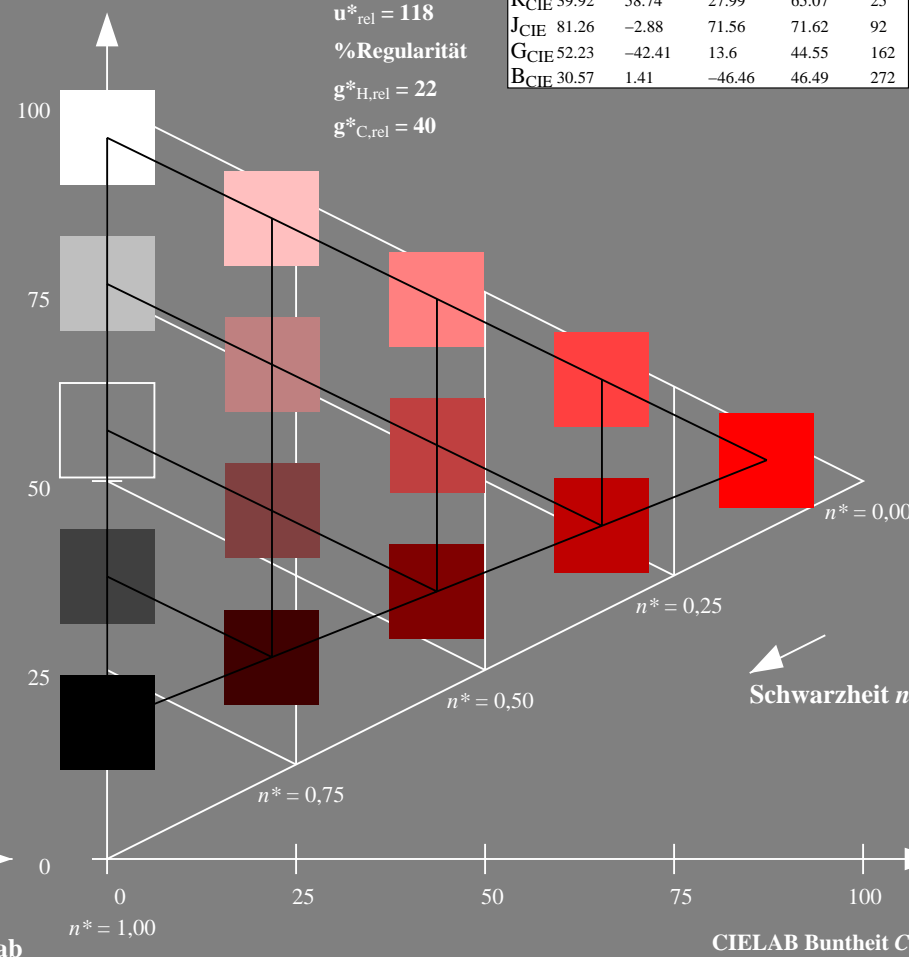
%Umfang

$u^*_{rel} = 118$

%Regularität

$g^*_{H,rel} = 22$

$g^*_{C,rel} = 40$



5 stufige Reihen für konstanten CIELAB Bunnton 35/360 = 0.097 (rechts)

Eingabe: Farbmetrisches Fernseh-Licht-System TLS18

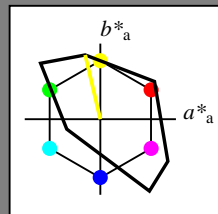
für Buntton  $h^* = lab^*h = 103/360 = 0.287$

LAB\*LCH, LAB\*NCH

D65: Buntton Y

LCH\*Ma: 93 87 103

olv\*Ma: 1.0 1.0 0.0



TLS18; adaptierte CIELAB-Daten

	$L^* = L^*_a$	$a^*_a$	$b^*_a$	$C^*_{ab,a}$	$h^*_{ab,a}$
O <sub>Ma</sub>	52.76	71.63	49.88	87.29	35
Y <sub>Ma</sub>	92.74	-20.02	84.97	87.3	103
L <sub>Ma</sub>	84.0	-78.98	73.94	108.2	137
C <sub>Ma</sub>	87.14	-44.41	-13.11	46.32	196
V <sub>Ma</sub>	35.47	64.92	-95.06	115.12	304
M <sub>Ma</sub>	59.01	89.33	-55.67	105.26	328
N <sub>Ma</sub>	18.01	0.0	0.0	0.0	0
W <sub>Ma</sub>	95.41	0.0	0.0	0.0	0
R <sub>CIE</sub>	39.92	58.74	27.99	65.07	25
J <sub>CIE</sub>	81.26	-2.88	71.56	71.62	92
G <sub>CIE</sub>	52.23	-42.41	13.6	44.55	162
B <sub>CIE</sub>	30.57	1.41	-46.46	46.49	272

CIELAB-Helligkeit  $L^*$

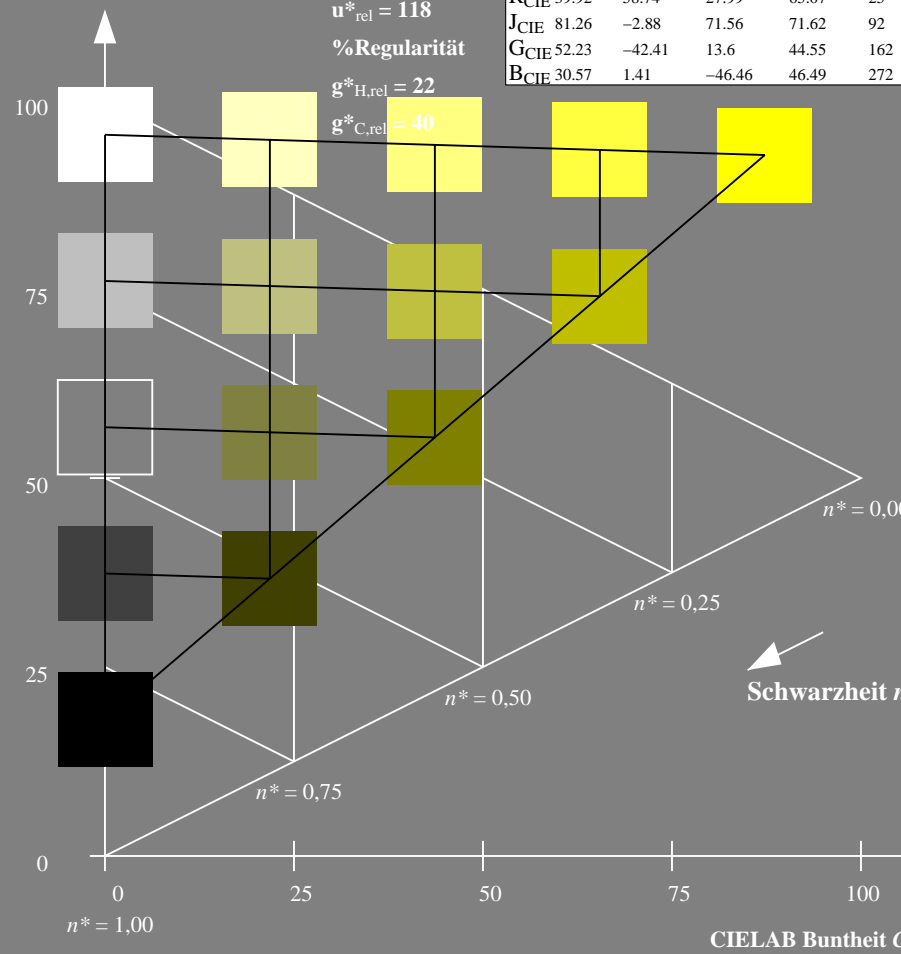
%Umfang

$u^*_{rel} = 118$

%Regularität

$g^*_{H,rel} = 22$

$g^*_{C,rel} = 40$



Ausgabe: Farbmetrisches Fernseh-Licht-System TLS18

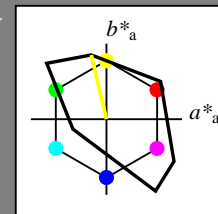
für Buntton  $h^* = lab^*h = 103/360 = 0.287$

LAB\*LCH, LAB\*NCH

D65: Buntton Y

LCH\*Ma: 93 87 103

olv\*Ma: 1.0 1.0 0.0



TLS18; adaptierte CIELAB-Daten

	$L^* = L^*_a$	$a^*_a$	$b^*_a$	$C^*_{ab,a}$	$h^*_{ab,a}$
O <sub>Ma</sub>	52.76	71.63	49.88	87.29	35
Y <sub>Ma</sub>	92.74	-20.02	84.97	87.3	103
L <sub>Ma</sub>	84.0	-78.98	73.94	108.2	137
C <sub>Ma</sub>	87.14	-44.41	-13.11	46.32	196
V <sub>Ma</sub>	35.47	64.92	-95.06	115.12	304
M <sub>Ma</sub>	59.01	89.33	-55.67	105.26	328
N <sub>Ma</sub>	18.01	0.0	0.0	0.0	0
W <sub>Ma</sub>	95.41	0.0	0.0	0.0	0
R <sub>CIE</sub>	39.92	58.74	27.99	65.07	25
J <sub>CIE</sub>	81.26	-2.88	71.56	71.62	92
G <sub>CIE</sub>	52.23	-42.41	13.6	44.55	162
B <sub>CIE</sub>	30.57	1.41	-46.46	46.49	272

CIELAB-Helligkeit  $L^*$

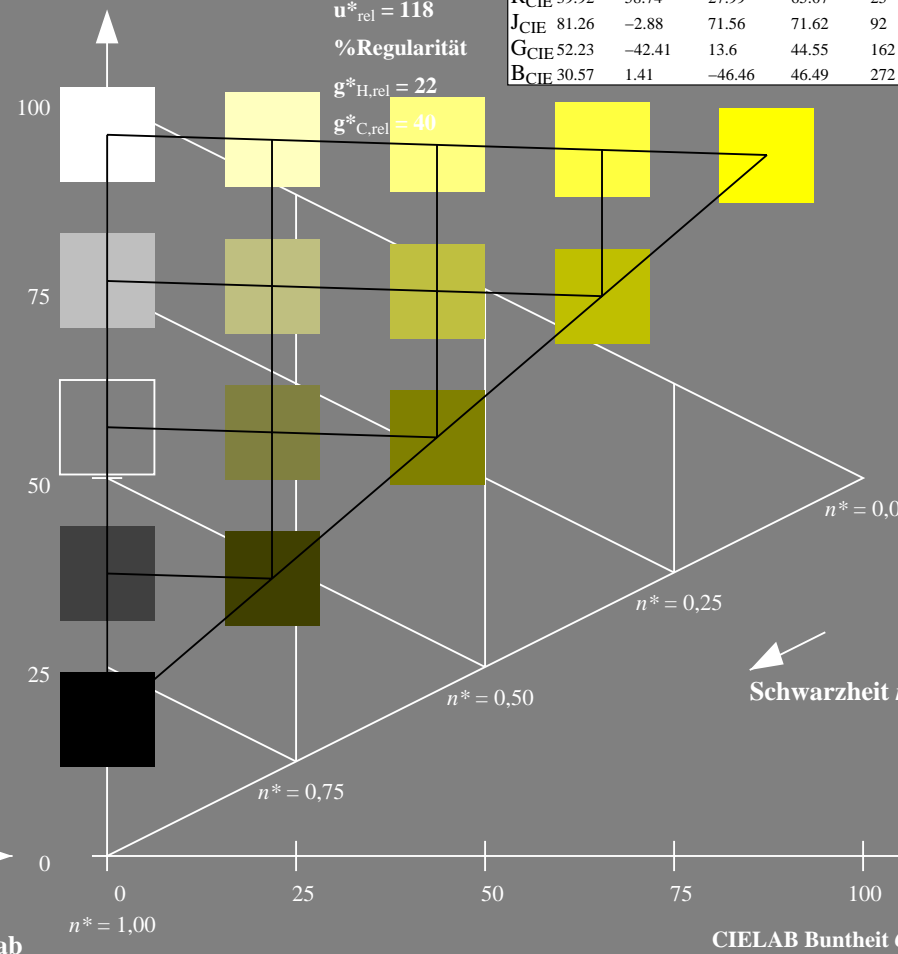
%Umfang

$u^*_{rel} = 118$

%Regularität

$g^*_{H,rel} = 22$

$g^*_{C,rel} = 40$



NG390-7, 5 stufige Reihen für konstanten CIELAB Buntton 103/360 = 0.287 (links)

5 stufige Reihen für konstanten CIELAB Buntton 103/360 = 0.287 (rechts)

BAM-Prüfvorlage NG39; Farbmetrik-Systeme TLS18 & TLS18 input: olv\* setrgbcolor

D65: Koordinatensysteme; 5stufige Farbreihen für 10 Bunttöne output: no change compared to input

Siehe ähnliche Dateien: <http://www.ps.bam.de/NG39/>  
 Technische Information: <http://www.ps.bam.de> Version 2.1, io=1,1

BAM-Registrierung: 20060101-NG39/10L/L39G01NP.PS/.PDF BAM-Material: Code=rh4ta  
 Anwendung für Beurteilung und Messung von Drucker- oder Monitorssystemen

/NG39/ Form: 2/10, Serie: 1/1, Seite: 2

Scheinung 2

Eingabe: Farbmimetrisches Fernseh-Licht-System TLS18

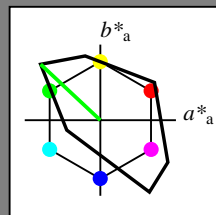
für Buntton  $h^* = lab^*h = 137/360 = 0.38$

LAB\*LCH, LAB\*NCH

D65: Buntton L

LCH\*Ma: 84 108 137

olv\*Ma: 0.0 1.0 0.0



TLS18; adaptierte CIELAB-Daten

	$L^* = L^*_a$	$a^*_a$	$b^*_a$	$C^*_{ab,a}$	$h^*_{ab,a}$
O <sub>Ma</sub>	52.76	71.63	49.88	87.29	35
Y <sub>Ma</sub>	92.74	-20.02	84.97	87.3	103
L <sub>Ma</sub>	84.0	-78.98	73.94	108.2	137
C <sub>Ma</sub>	87.14	-44.41	-13.11	46.32	196
V <sub>Ma</sub>	35.47	64.92	-95.06	115.12	304
M <sub>Ma</sub>	59.01	89.33	-55.67	105.26	328
N <sub>Ma</sub>	18.01	0.0	0.0	0.0	0
W <sub>Ma</sub>	95.41	0.0	0.0	0.0	0
R <sub>CIE</sub>	39.92	58.74	27.99	65.07	25
J <sub>CIE</sub>	81.26	-2.88	71.56	71.62	92
G <sub>CIE</sub>	52.23	-42.41	13.6	44.55	162
B <sub>CIE</sub>	30.57	1.41	-46.46	46.49	272

CIELAB-Helligkeit  $L^*$

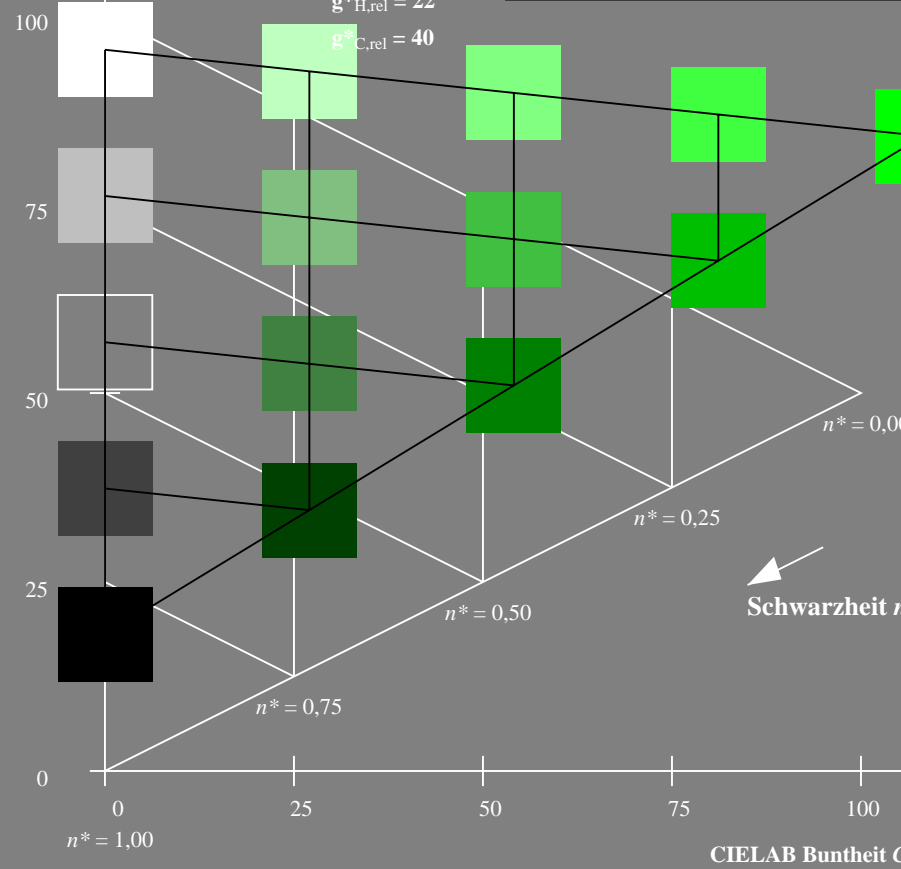
%Umfang

$u^*_{rel} = 118$

%Regularität

$g^*_{H,rel} = 22$

$g^*_{C,rel} = 40$



NG390-7, 5 stufige Reihen für konstanten CIELAB Buntton  $137/360 = 0.38$  (links)

Ausgabe: Farbmimetrisches Fernseh-Licht-System TLS18

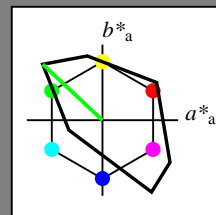
für Buntton  $h^* = lab^*h = 137/360 = 0.38$

LAB\*LCH, LAB\*NCH

D65: Buntton L

LCH\*Ma: 84 108 137

olv\*Ma: 0.0 1.0 0.0



TLS18; adaptierte CIELAB-Daten

	$L^* = L^*_a$	$a^*_a$	$b^*_a$	$C^*_{ab,a}$	$h^*_{ab,a}$
O <sub>Ma</sub>	52.76	71.63	49.88	87.29	35
Y <sub>Ma</sub>	92.74	-20.02	84.97	87.3	103
L <sub>Ma</sub>	84.0	-78.98	73.94	108.2	137
C <sub>Ma</sub>	87.14	-44.41	-13.11	46.32	196
V <sub>Ma</sub>	35.47	64.92	-95.06	115.12	304
M <sub>Ma</sub>	59.01	89.33	-55.67	105.26	328
N <sub>Ma</sub>	18.01	0.0	0.0	0.0	0
W <sub>Ma</sub>	95.41	0.0	0.0	0.0	0
R <sub>CIE</sub>	39.92	58.74	27.99	65.07	25
J <sub>CIE</sub>	81.26	-2.88	71.56	71.62	92
G <sub>CIE</sub>	52.23	-42.41	13.6	44.55	162
B <sub>CIE</sub>	30.57	1.41	-46.46	46.49	272

CIELAB-Helligkeit  $L^*$

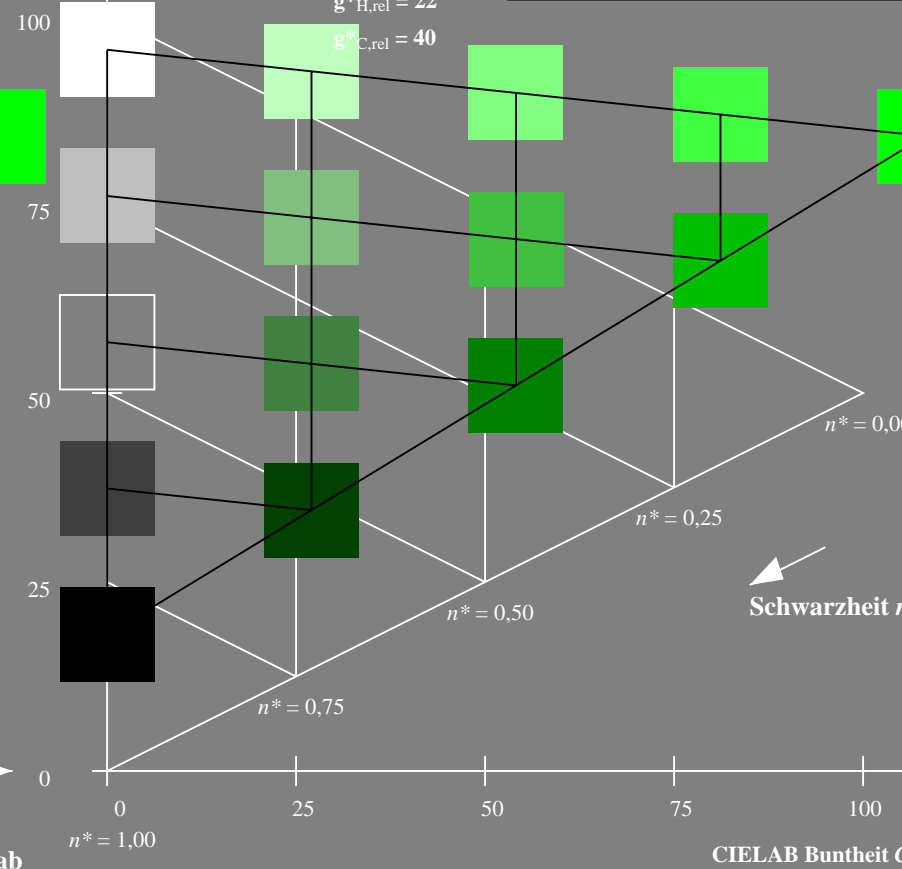
%Umfang

$u^*_{rel} = 118$

%Regularität

$g^*_{H,rel} = 22$

$g^*_{C,rel} = 40$



5 stufige Reihen für konstanten CIELAB Buntton  $137/360 = 0.38$  (rechts)

BAM-Prüfvorlage NG39; Farbmimetrik-Systeme TLS18 & TLS18 input: olv\* setrgbcolor

D65: Koordinatensysteme; 5stufige Farbreihen für 10 Bunttöne output: no change compared to input

Siehe ähnliche Dateien: <http://www.ps.bam.de/NG39/>  
 Technische Information: <http://www.ps.bam.de/Version 2.1, io=1,1>

BAM-Registrierung: 20060101-NG39/10L/L39G02NP.PS/.PDF BAM-Material: Code=rhatha  
 Anwendung für Beurteilung und Messung von Drucker- oder Monitorssystemen  
 /NG39/ Form: 3/10, Serie: 1/1, Seite: 3  
 Seitenlung 3

Eingabe: Farbmimetrisches Fernseh-Licht-System TLS18

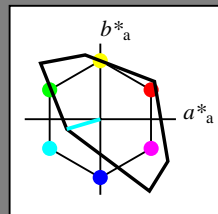
für Buntton  $h^* = lab^*h = 196/360 = 0.546$

LAB\*LCH, LAB\*NCH

D65: Buntton C

LCH\*Ma: 87 46 196

olv\*Ma: 0.0 1.0 1.0



TLS18; adaptierte CIELAB-Daten

	$L^*=L^*_a$	$a^*_a$	$b^*_a$	$C^*_{ab,a}$	$h^*_{ab,a}$
O <sub>Ma</sub>	52.76	71.63	49.88	87.29	35
Y <sub>Ma</sub>	92.74	-20.02	84.97	87.3	103
L <sub>Ma</sub>	84.0	-78.98	73.94	108.2	137
C <sub>Ma</sub>	87.14	-44.41	-13.11	46.32	196
V <sub>Ma</sub>	35.47	64.92	-95.06	115.12	304
M <sub>Ma</sub>	59.01	89.33	-55.67	105.26	328
N <sub>Ma</sub>	18.01	0.0	0.0	0.0	0
W <sub>Ma</sub>	95.41	0.0	0.0	0.0	0
R <sub>CIE</sub>	39.92	58.74	27.99	65.07	25
J <sub>CIE</sub>	81.26	-2.88	71.56	71.62	92
G <sub>CIE</sub>	52.23	-42.41	13.6	44.55	162
B <sub>CIE</sub>	30.57	1.41	-46.46	46.49	272

CIELAB-Helligkeit  $L^*$

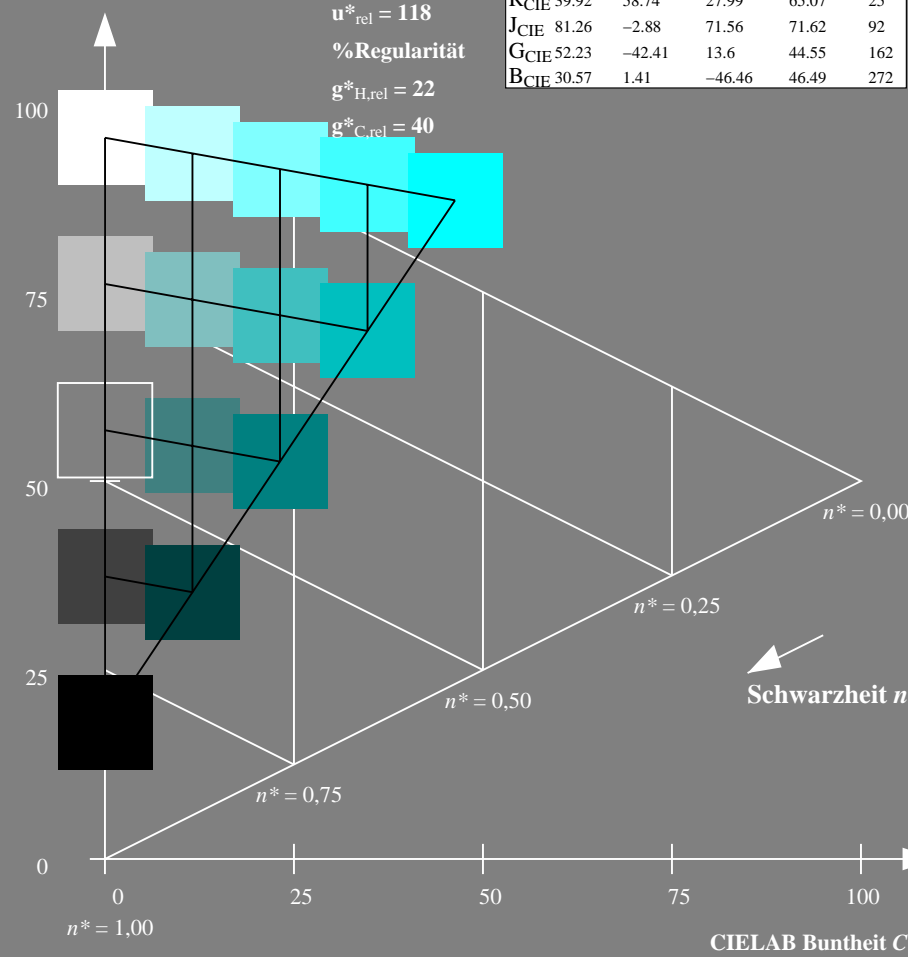
%Umfang

$u^*_{rel} = 118$

%Regularität

$g^*_{H,rel} = 22$

$g^*_{C,rel} = 40$



NG390-7, 5 stufige Reihen für konstanten CIELAB Buntton 196/360 = 0.546 (links)

Ausgabe: Farbmimetrisches Fernseh-Licht-System TLS18

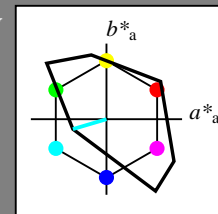
für Buntton  $h^* = lab^*h = 196/360 = 0.546$

LAB\*LCH, LAB\*NCH

D65: Buntton C

LCH\*Ma: 87 46 196

olv\*Ma: 0.0 1.0 1.0



TLS18; adaptierte CIELAB-Daten

	$L^*=L^*_a$	$a^*_a$	$b^*_a$	$C^*_{ab,a}$	$h^*_{ab,a}$
O <sub>Ma</sub>	52.76	71.63	49.88	87.29	35
Y <sub>Ma</sub>	92.74	-20.02	84.97	87.3	103
L <sub>Ma</sub>	84.0	-78.98	73.94	108.2	137
C <sub>Ma</sub>	87.14	-44.41	-13.11	46.32	196
V <sub>Ma</sub>	35.47	64.92	-95.06	115.12	304
M <sub>Ma</sub>	59.01	89.33	-55.67	105.26	328
N <sub>Ma</sub>	18.01	0.0	0.0	0.0	0
W <sub>Ma</sub>	95.41	0.0	0.0	0.0	0
R <sub>CIE</sub>	39.92	58.74	27.99	65.07	25
J <sub>CIE</sub>	81.26	-2.88	71.56	71.62	92
G <sub>CIE</sub>	52.23	-42.41	13.6	44.55	162
B <sub>CIE</sub>	30.57	1.41	-46.46	46.49	272

CIELAB-Helligkeit  $L^*$

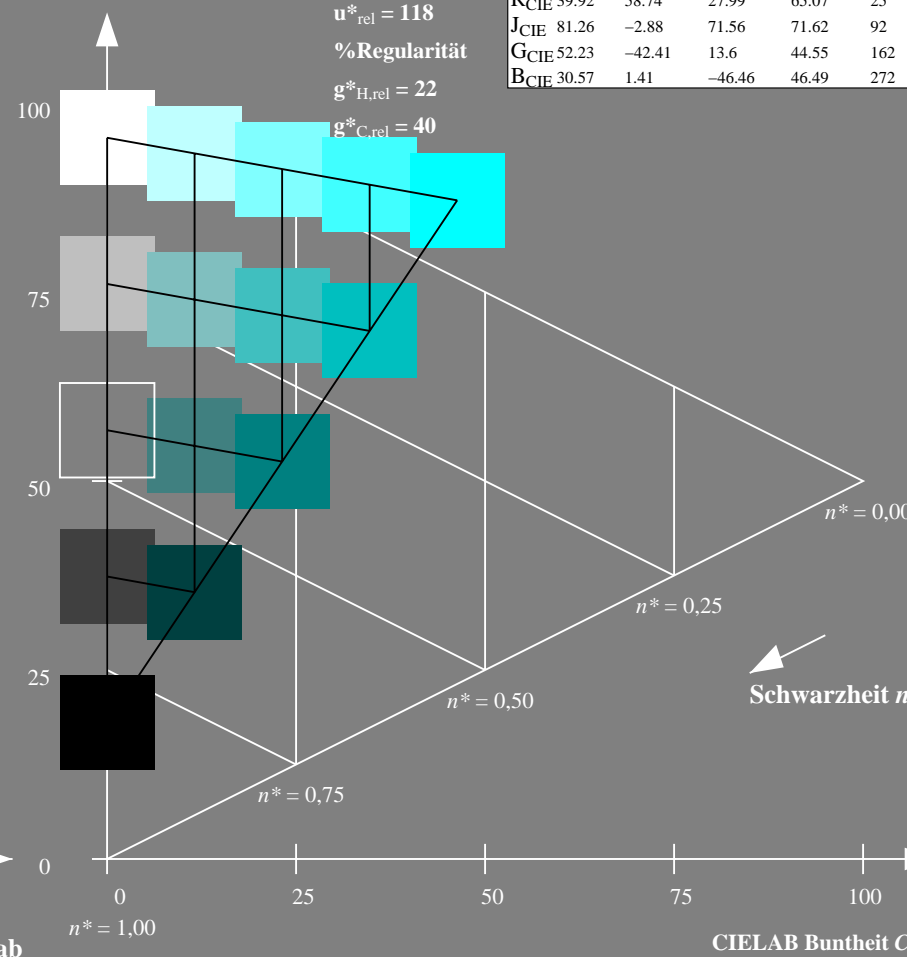
%Umfang

$u^*_{rel} = 118$

%Regularität

$g^*_{H,rel} = 22$

$g^*_{C,rel} = 40$



5 stufige Reihen für konstanten CIELAB Buntton 196/360 = 0.546 (rechts)

BAM-Prüfvorlage NG39; Farbmimetrik-Systeme TLS18 & TLS18 input: olv\* setrgbcolor

D65: Koordinatensysteme; 5stufige Farbreihen für 10 Bunttöne output: no change compared to input

Siehe ähnliche Dateien: <http://www.ps.bam.de/NG39/>  
 Technische Information: <http://www.ps.bam.de/Version 2.1, io=1,1>

BAM-Registrierung: 20060101-NG39/10L/L39G03NP.PS/.PDF BAM-Material: Code=rh4ta  
 Anwendung für Beurteilung und Messung von Drucker- oder Monitorssystemen  
 /NG39/ Form: 4/0, Serie: 1/1, Seite: 4  
 Scherzhang 4

Eingabe: Farbmimetrisches Fernseh-Licht-System TLS18

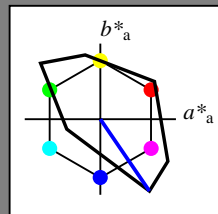
für Buntton  $h^* = lab^*h = 304/360 = 0.845$

LAB\*LCH, LAB\*NCH

D65: Buntton V

LCH\*Ma: 35 115 304

olv\*Ma: 0.0 0.0 1.0



TLS18; adaptierte CIELAB-Daten

	$L^* = L^*_a$	$a^*_a$	$b^*_a$	$C^*_{ab,a}$	$h^*_{ab,a}$
O <sub>Ma</sub>	52.76	71.63	49.88	87.29	35
Y <sub>Ma</sub>	92.74	-20.02	84.97	87.3	103
L <sub>Ma</sub>	84.0	-78.98	73.94	108.2	137
C <sub>Ma</sub>	87.14	-44.41	-13.11	46.32	196
V <sub>Ma</sub>	35.47	64.92	-95.06	115.12	304
M <sub>Ma</sub>	59.01	89.33	-55.67	105.26	328
N <sub>Ma</sub>	18.01	0.0	0.0	0.0	0
W <sub>Ma</sub>	95.41	0.0	0.0	0.0	0
R <sub>CIE</sub>	39.92	58.74	27.99	65.07	25
J <sub>CIE</sub>	81.26	-2.88	71.56	71.62	92
G <sub>CIE</sub>	52.23	-42.41	13.6	44.55	162
B <sub>CIE</sub>	30.57	1.41	-46.46	46.49	272

CIELAB-Helligkeit  $L^*$

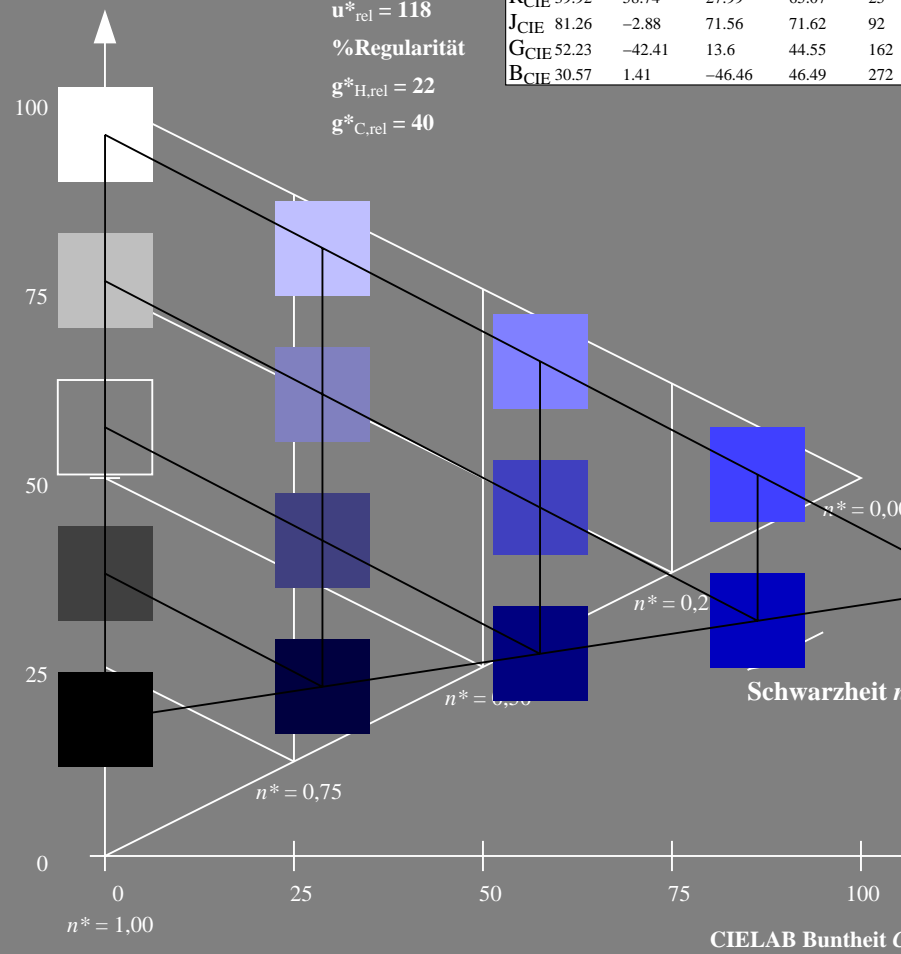
%Umfang

$u^*_{rel} = 118$

%Regularität

$g^*_{H,rel} = 22$

$g^*_{C,rel} = 40$



Ausgabe: Farbmimetrisches Fernseh-Licht-System TLS18

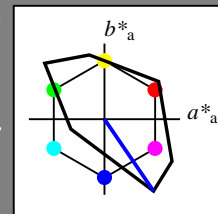
für Buntton  $h^* = lab^*h = 304/360 = 0.845$

LAB\*LCH, LAB\*NCH

D65: Buntton V

LCH\*Ma: 35 115 304

olv\*Ma: 0.0 0.0 1.0



TLS18; adaptierte CIELAB-Daten

	$L^* = L^*_a$	$a^*_a$	$b^*_a$	$C^*_{ab,a}$	$h^*_{ab,a}$
O <sub>Ma</sub>	52.76	71.63	49.88	87.29	35
Y <sub>Ma</sub>	92.74	-20.02	84.97	87.3	103
L <sub>Ma</sub>	84.0	-78.98	73.94	108.2	137
C <sub>Ma</sub>	87.14	-44.41	-13.11	46.32	196
V <sub>Ma</sub>	35.47	64.92	-95.06	115.12	304
M <sub>Ma</sub>	59.01	89.33	-55.67	105.26	328
N <sub>Ma</sub>	18.01	0.0	0.0	0.0	0
W <sub>Ma</sub>	95.41	0.0	0.0	0.0	0
R <sub>CIE</sub>	39.92	58.74	27.99	65.07	25
J <sub>CIE</sub>	81.26	-2.88	71.56	71.62	92
G <sub>CIE</sub>	52.23	-42.41	13.6	44.55	162
B <sub>CIE</sub>	30.57	1.41	-46.46	46.49	272

CIELAB-Helligkeit  $L^*$

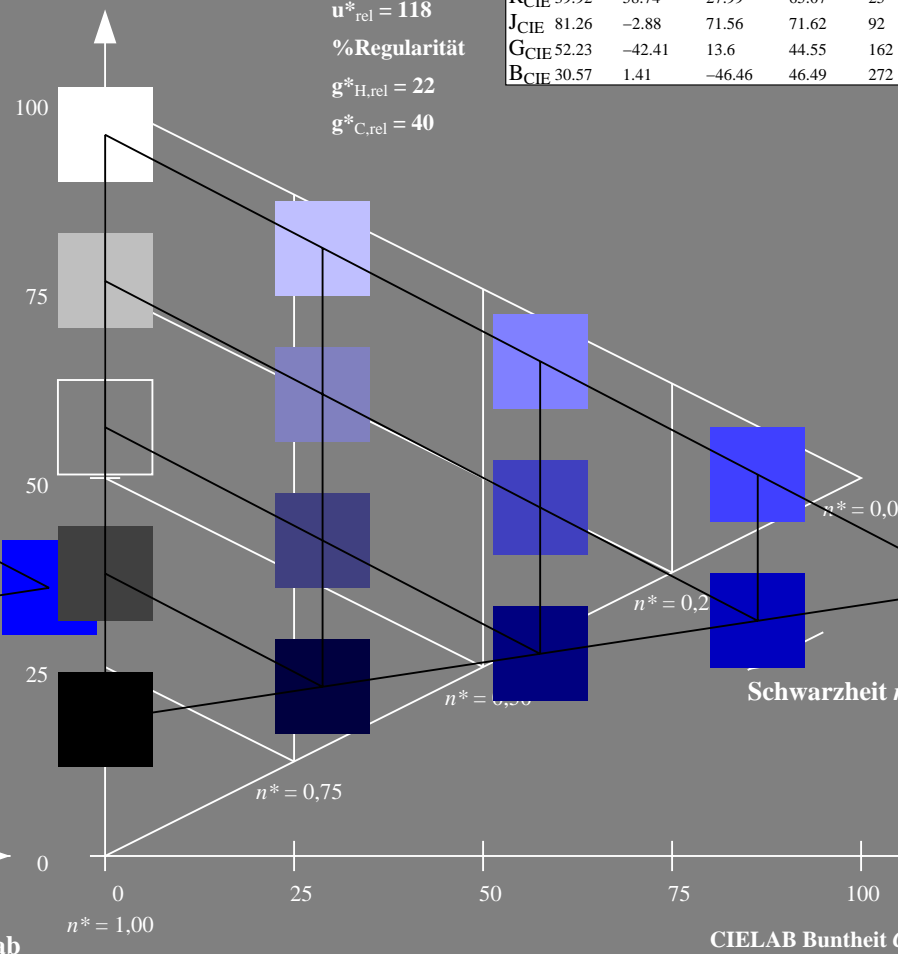
%Umfang

$u^*_{rel} = 118$

%Regularität

$g^*_{H,rel} = 22$

$g^*_{C,rel} = 40$



NG390-7, 5 stufige Reihen für konstanten CIELAB Bunton 304/360 = 0.845 (links)

5 stufige Reihen für konstanten CIELAB Bunton 304/360 = 0.845 (rechts)

BAM-Prüfvorlage NG39; Farbmimetrik-Systeme TLS18 & TLS18 input: olv\* setrgbcolor

D65: Koordinatensysteme; 5stufige Farbreihen für 10 Bunttöne output: no change compared to input

Siehe ähnliche Dateien: <http://www.ps.bam.de/NG39/>  
 Technische Information: <http://www.ps.bam.de/Version 2.1, io=1,1>

BAM-Registrierung: 20060101-NG39/10L/L39G04NP.PS/.PDF BAM-Material: Code=rh4ta  
 Anwendung für Beurteilung und Messung von Drucker- oder Monitorsystemen  
 NG39/10L, Seite: 5  
 Sitzung 5

Eingabe: Farbmimetrisches Fernseh-Licht-System TLS18

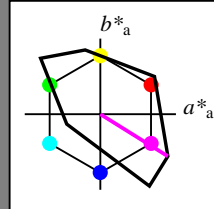
für Buntton  $h^* = lab^*h = 328/360 = 0.911$

LAB\*LCH, LAB\*NCH

D65: Buntton M

LCH\*Ma: 59 105 328

olv\*Ma: 1.0 0.0 1.0



TLS18; adaptierte CIELAB-Daten

	$L^*=L^*_a$	$a^*_a$	$b^*_a$	$C^*_{ab,a}$	$h^*_{ab,a}$
O <sub>Ma</sub>	52.76	71.63	49.88	87.29	35
Y <sub>Ma</sub>	92.74	-20.02	84.97	87.3	103
L <sub>Ma</sub>	84.0	-78.98	73.94	108.2	137
C <sub>Ma</sub>	87.14	-44.41	-13.11	46.32	196
V <sub>Ma</sub>	35.47	64.92	-95.06	115.12	304
M <sub>Ma</sub>	59.01	89.33	-55.67	105.26	328
N <sub>Ma</sub>	18.01	0.0	0.0	0.0	0
W <sub>Ma</sub>	95.41	0.0	0.0	0.0	0
R <sub>CIE</sub>	39.92	58.74	27.99	65.07	25
J <sub>CIE</sub>	81.26	-2.88	71.56	71.62	92
G <sub>CIE</sub>	52.23	-42.41	13.6	44.55	162
B <sub>CIE</sub>	30.57	1.41	-46.46	46.49	272

CIELAB-Helligkeit  $L^*$

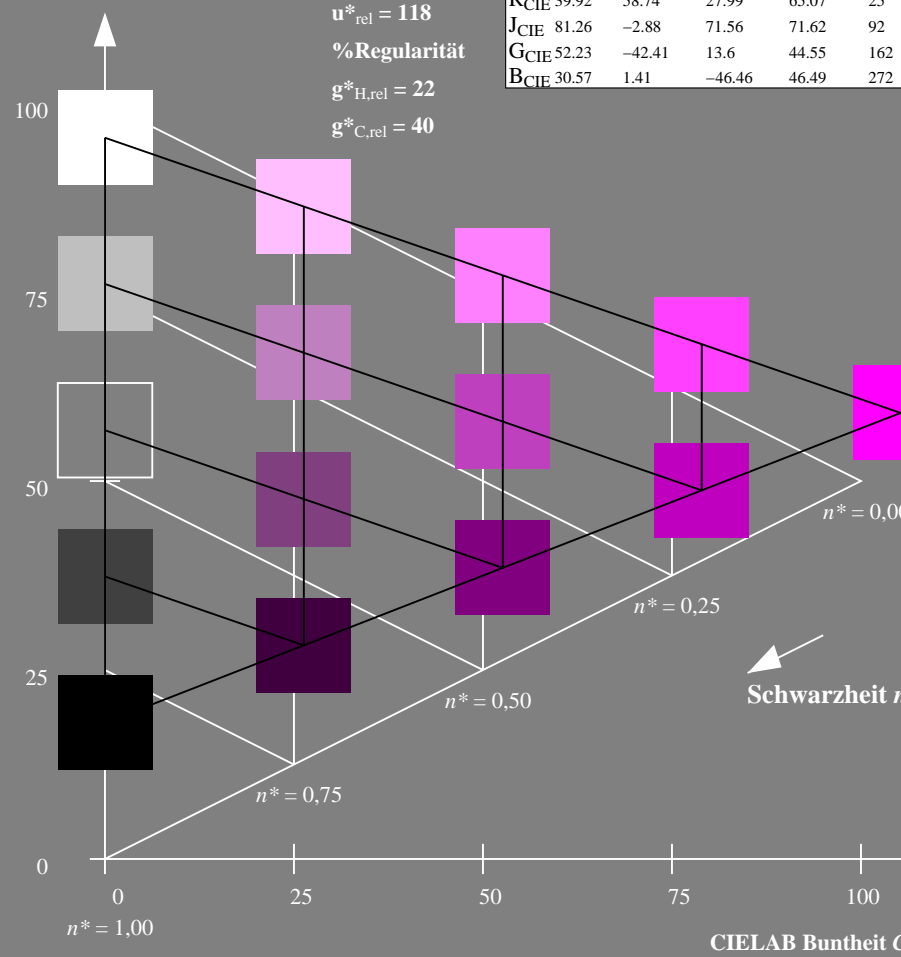
%Umfang

$u^*_{rel} = 118$

%Regularität

$g^*_{H,rel} = 22$

$g^*_{C,rel} = 40$



Ausgabe: Farbmimetrisches Fernseh-Licht-System TLS18

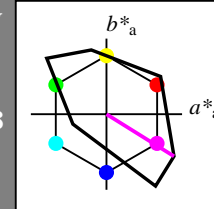
für Buntton  $h^* = lab^*h = 328/360 = 0.911$

LAB\*LCH, LAB\*NCH

D65: Buntton M

LCH\*Ma: 59 105 328

olv\*Ma: 1.0 0.0 1.0



TLS18; adaptierte CIELAB-Daten

	$L^*=L^*_a$	$a^*_a$	$b^*_a$	$C^*_{ab,a}$	$h^*_{ab,a}$
O <sub>Ma</sub>	52.76	71.63	49.88	87.29	35
Y <sub>Ma</sub>	92.74	-20.02	84.97	87.3	103
L <sub>Ma</sub>	84.0	-78.98	73.94	108.2	137
C <sub>Ma</sub>	87.14	-44.41	-13.11	46.32	196
V <sub>Ma</sub>	35.47	64.92	-95.06	115.12	304
M <sub>Ma</sub>	59.01	89.33	-55.67	105.26	328
N <sub>Ma</sub>	18.01	0.0	0.0	0.0	0
W <sub>Ma</sub>	95.41	0.0	0.0	0.0	0
R <sub>CIE</sub>	39.92	58.74	27.99	65.07	25
J <sub>CIE</sub>	81.26	-2.88	71.56	71.62	92
G <sub>CIE</sub>	52.23	-42.41	13.6	44.55	162
B <sub>CIE</sub>	30.57	1.41	-46.46	46.49	272

CIELAB-Helligkeit  $L^*$

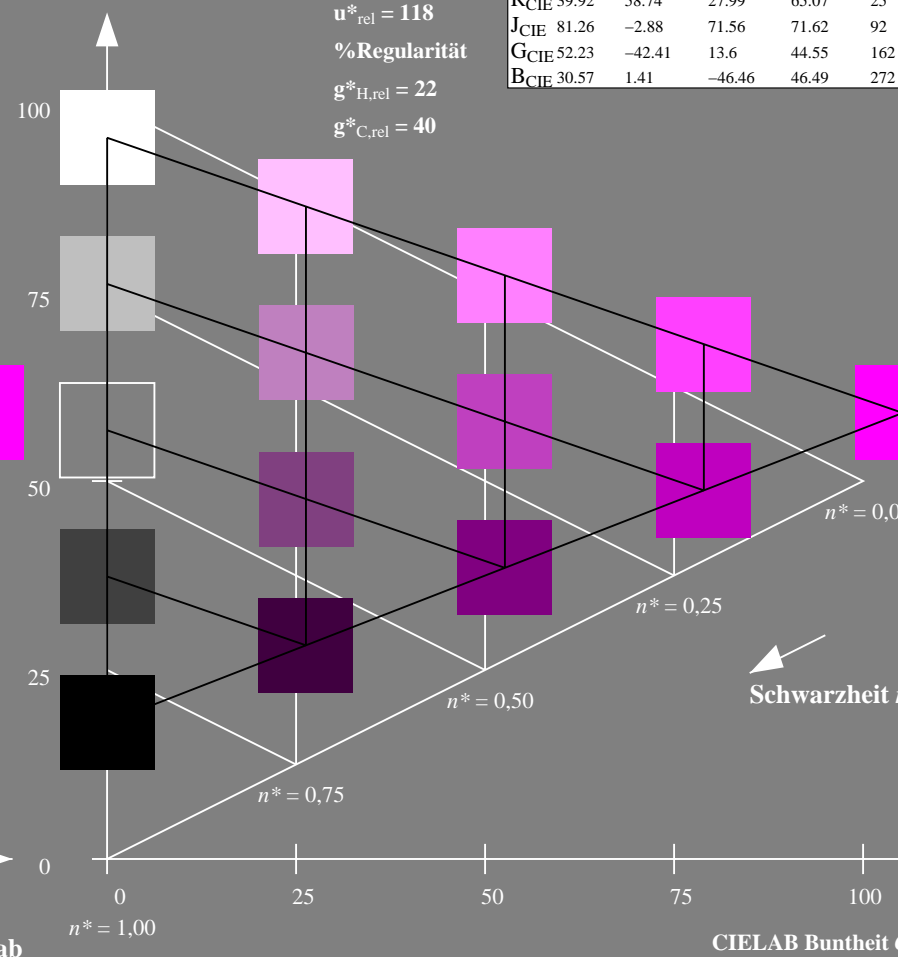
%Umfang

$u^*_{rel} = 118$

%Regularität

$g^*_{H,rel} = 22$

$g^*_{C,rel} = 40$



NG390-7, 5 stufige Reihen für konstanten CIELAB Bunton  $328/360 = 0.911$  (links)

5 stufige Reihen für konstanten CIELAB Bunton  $328/360 = 0.911$  (rechts)

BAM-Prüfvorlage NG39; Farbmimetrik-Systeme TLS18 & TLS18 input: olv\* setrgbcolor

D65: Koordinatensysteme; 5stufige Farbreihen für 10 Bunttöne output: no change compared to input

Siehe ähnliche Dateien: <http://www.ps.bam.de/NG39/>  
 Technische Information: <http://www.ps.bam.de> Version 2.1, io=1,1

BAM-Registrierung: 20060101-NG39/10L/L39G05NP.PS/.PDF BAM-Material: Code=rh4ta  
 Anwendung für Beurteilung und Messung von Drucker- oder Monitorssystemen  
 /NG39/ Form: 6/10, Serie: 1/1, Seite: 6  
 Scherz hung 6

Eingabe: Farbmimetrisches Fernseh-Licht-System TLS18

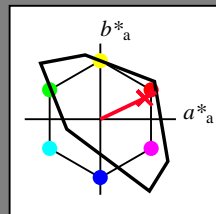
für Buntton  $h^* = lab^*h = 25/360 = 0.071$

LAB\*LCH, LAB\*NCH

D65: Buntton R

LCH\*Ma: 54 82 25

olv\*Ma: 1.0 0.0 0.14



TLS18; adaptierte CIELAB-Daten

	$L^* = L^*_a$	$a^*_a$	$b^*_a$	$C^*_{ab,a}$	$h^*_{ab,a}$
O <sub>Ma</sub>	52.76	71.63	49.88	87.29	35
Y <sub>Ma</sub>	92.74	-20.02	84.97	87.3	103
L <sub>Ma</sub>	84.0	-78.98	73.94	108.2	137
C <sub>Ma</sub>	87.14	-44.41	-13.11	46.32	196
V <sub>Ma</sub>	35.47	64.92	-95.06	115.12	304
M <sub>Ma</sub>	59.01	89.33	-55.67	105.26	328
N <sub>Ma</sub>	18.01	0.0	0.0	0.0	0
W <sub>Ma</sub>	95.41	0.0	0.0	0.0	0
R <sub>CIE</sub>	39.92	58.74	27.99	65.07	25
J <sub>CIE</sub>	81.26	-2.88	71.56	71.62	92
G <sub>CIE</sub>	52.23	-42.41	13.6	44.55	162
B <sub>CIE</sub>	30.57	1.41	-46.46	46.49	272

CIELAB-Helligkeit  $L^*$

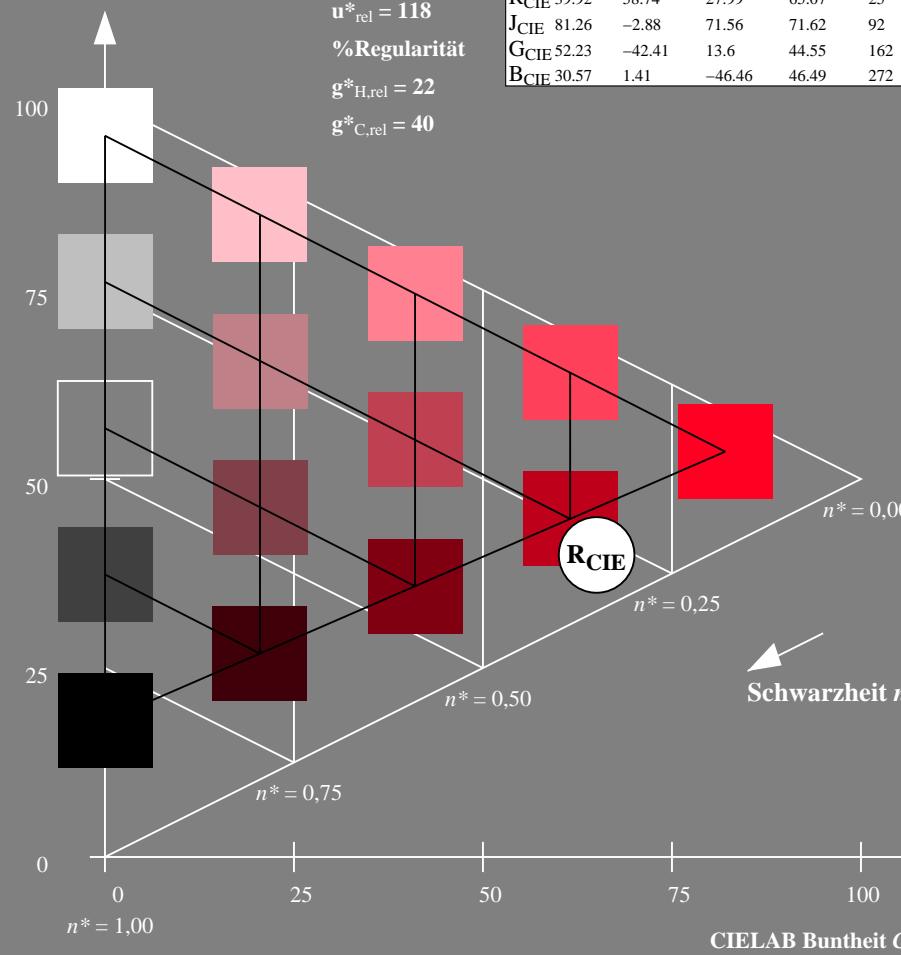
%Umfang

$u^*_{rel} = 118$

%Regularität

$g^*_{H,rel} = 22$

$g^*_{C,rel} = 40$



NG390-7, 5 stufige Reihen für konstanten CIELAB Buntton 25/360 = 0.071 (links)

Ausgabe: Farbmimetrisches Fernseh-Licht-System TLS18

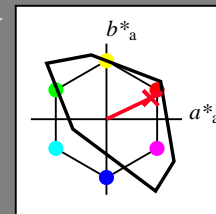
für Buntton  $h^* = lab^*h = 25/360 = 0.071$

LAB\*LCH, LAB\*NCH

D65: Buntton R

LCH\*Ma: 54 82 25

olv\*Ma: 1.0 0.0 0.14



TLS18; adaptierte CIELAB-Daten

	$L^* = L^*_a$	$a^*_a$	$b^*_a$	$C^*_{ab,a}$	$h^*_{ab,a}$
O <sub>Ma</sub>	52.76	71.63	49.88	87.29	35
Y <sub>Ma</sub>	92.74	-20.02	84.97	87.3	103
L <sub>Ma</sub>	84.0	-78.98	73.94	108.2	137
C <sub>Ma</sub>	87.14	-44.41	-13.11	46.32	196
V <sub>Ma</sub>	35.47	64.92	-95.06	115.12	304
M <sub>Ma</sub>	59.01	89.33	-55.67	105.26	328
N <sub>Ma</sub>	18.01	0.0	0.0	0.0	0
W <sub>Ma</sub>	95.41	0.0	0.0	0.0	0
R <sub>CIE</sub>	39.92	58.74	27.99	65.07	25
J <sub>CIE</sub>	81.26	-2.88	71.56	71.62	92
G <sub>CIE</sub>	52.23	-42.41	13.6	44.55	162
B <sub>CIE</sub>	30.57	1.41	-46.46	46.49	272

CIELAB-Helligkeit  $L^*$

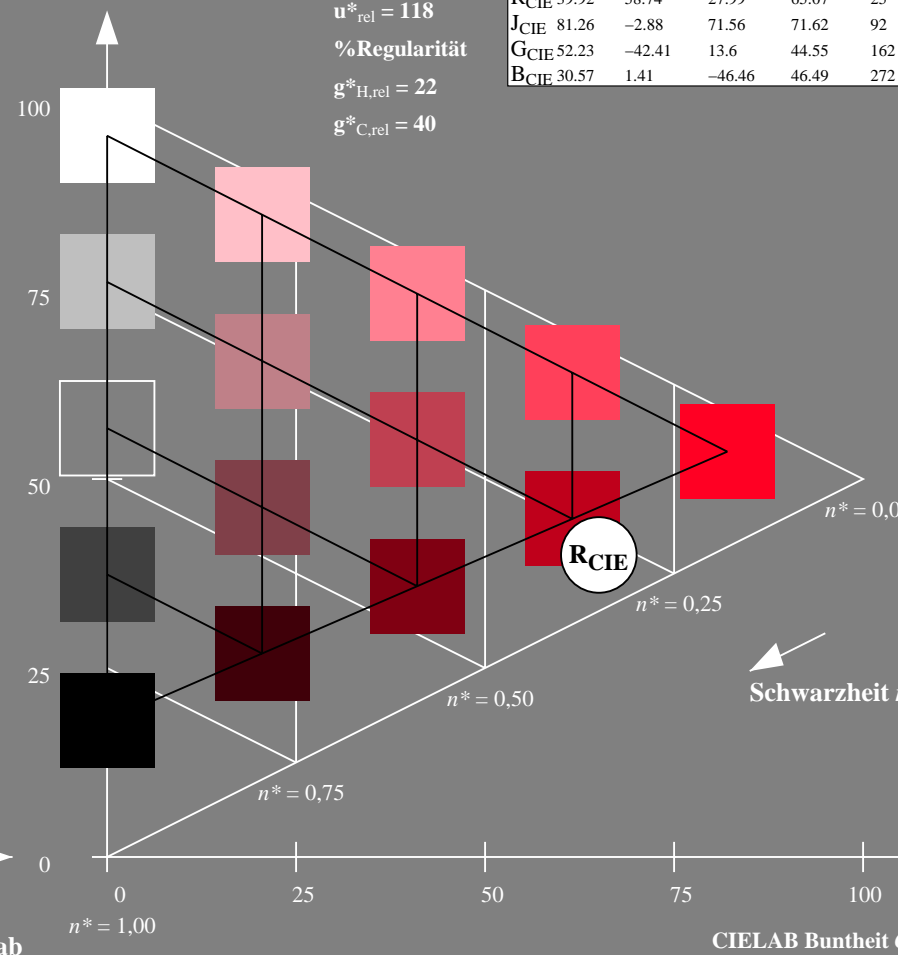
%Umfang

$u^*_{rel} = 118$

%Regularität

$g^*_{H,rel} = 22$

$g^*_{C,rel} = 40$



5 stufige Reihen für konstanten CIELAB Buntton 25/360 = 0.071 (rechts)

BAM-Prüfvorlage NG39; Farbmimetrik-Systeme TLS18 & TLS18 input: olv\* setrgbcolor

D65: Koordinatensysteme; 5stufige Farbreihen für 10 Bunttöne output: no change compared to input

Siehe ähnliche Dateien: <http://www.ps.bam.de/NG39/>  
 Technische Information: <http://www.ps.bam.de/Version 2.1, io=1,1>

BAM-Registrierung: 20060101-NG39/10L/L39G06NP.PS/.PDF BAM-Material: Code=rhatha  
 Anwendung für Beurteilung und Messung von Drucker- oder Monitorssystemen  
 /NG39/ Form: 7/10, Serie: 1/1, Seite: 7  
 Seitenhang 7

Eingabe: Farbmimetrisches Fernseh-Licht-System TLS18

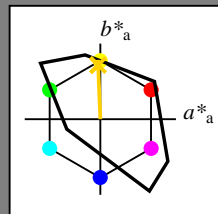
für Buntton  $h^* = lab^*h = 92/360 = 0.256$

LAB\*LCH, LAB\*NCH

D65: Buntton J

LCH\*Ma: 85 79 92

olv\*Ma: 1.0 0.82 0.0



TLS18; adaptierte CIELAB-Daten

	$L^* = L^*_a$	$a^*_a$	$b^*_a$	$C^*_{ab,a}$	$h^*_{ab,a}$
O <sub>Ma</sub>	52.76	71.63	49.88	87.29	35
Y <sub>Ma</sub>	92.74	-20.02	84.97	87.3	103
L <sub>Ma</sub>	84.0	-78.98	73.94	108.2	137
C <sub>Ma</sub>	87.14	-44.41	-13.11	46.32	196
V <sub>Ma</sub>	35.47	64.92	-95.06	115.12	304
M <sub>Ma</sub>	59.01	89.33	-55.67	105.26	328
N <sub>Ma</sub>	18.01	0.0	0.0	0.0	0
W <sub>Ma</sub>	95.41	0.0	0.0	0.0	0
R <sub>CIE</sub>	39.92	58.74	27.99	65.07	25
J <sub>CIE</sub>	81.26	-2.88	71.56	71.62	92
G <sub>CIE</sub>	52.23	-42.41	13.6	44.55	162
B <sub>CIE</sub>	30.57	1.41	-46.46	46.49	272

CIELAB-Helligkeit  $L^*$

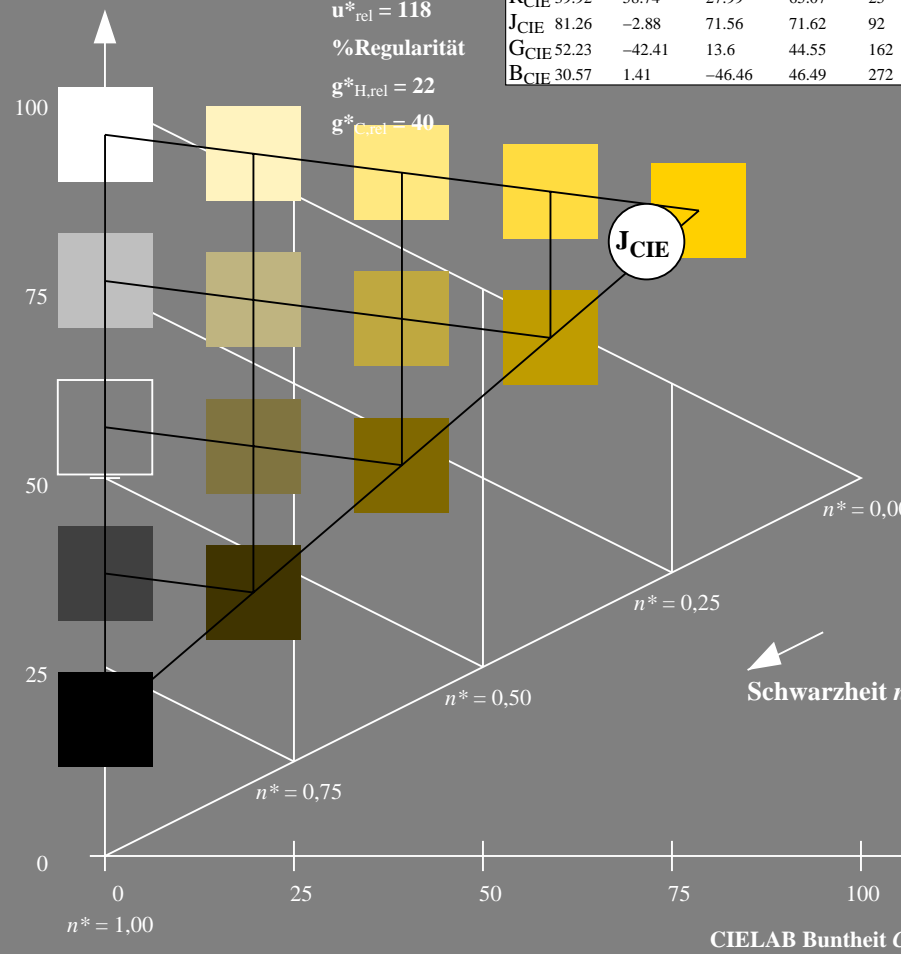
%Umfang

$u^*_{rel} = 118$

%Regularität

$g^*_{H,rel} = 22$

$g^*_{C,rel} = 40$



NG390-7, 5 stufige Reihen für konstanten CIELAB Bunton 92/360 = 0.256 (links)

Ausgabe: Farbmimetrisches Fernseh-Licht-System TLS18

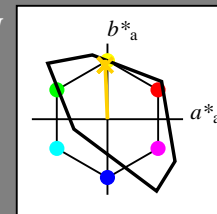
für Buntton  $h^* = lab^*h = 92/360 = 0.256$

LAB\*LCH, LAB\*NCH

D65: Buntton J

LCH\*Ma: 85 79 92

olv\*Ma: 1.0 0.82 0.0



TLS18; adaptierte CIELAB-Daten

	$L^* = L^*_a$	$a^*_a$	$b^*_a$	$C^*_{ab,a}$	$h^*_{ab,a}$
O <sub>Ma</sub>	52.76	71.63	49.88	87.29	35
Y <sub>Ma</sub>	92.74	-20.02	84.97	87.3	103
L <sub>Ma</sub>	84.0	-78.98	73.94	108.2	137
C <sub>Ma</sub>	87.14	-44.41	-13.11	46.32	196
V <sub>Ma</sub>	35.47	64.92	-95.06	115.12	304
M <sub>Ma</sub>	59.01	89.33	-55.67	105.26	328
N <sub>Ma</sub>	18.01	0.0	0.0	0.0	0
W <sub>Ma</sub>	95.41	0.0	0.0	0.0	0
R <sub>CIE</sub>	39.92	58.74	27.99	65.07	25
J <sub>CIE</sub>	81.26	-2.88	71.56	71.62	92
G <sub>CIE</sub>	52.23	-42.41	13.6	44.55	162
B <sub>CIE</sub>	30.57	1.41	-46.46	46.49	272

CIELAB-Helligkeit  $L^*$

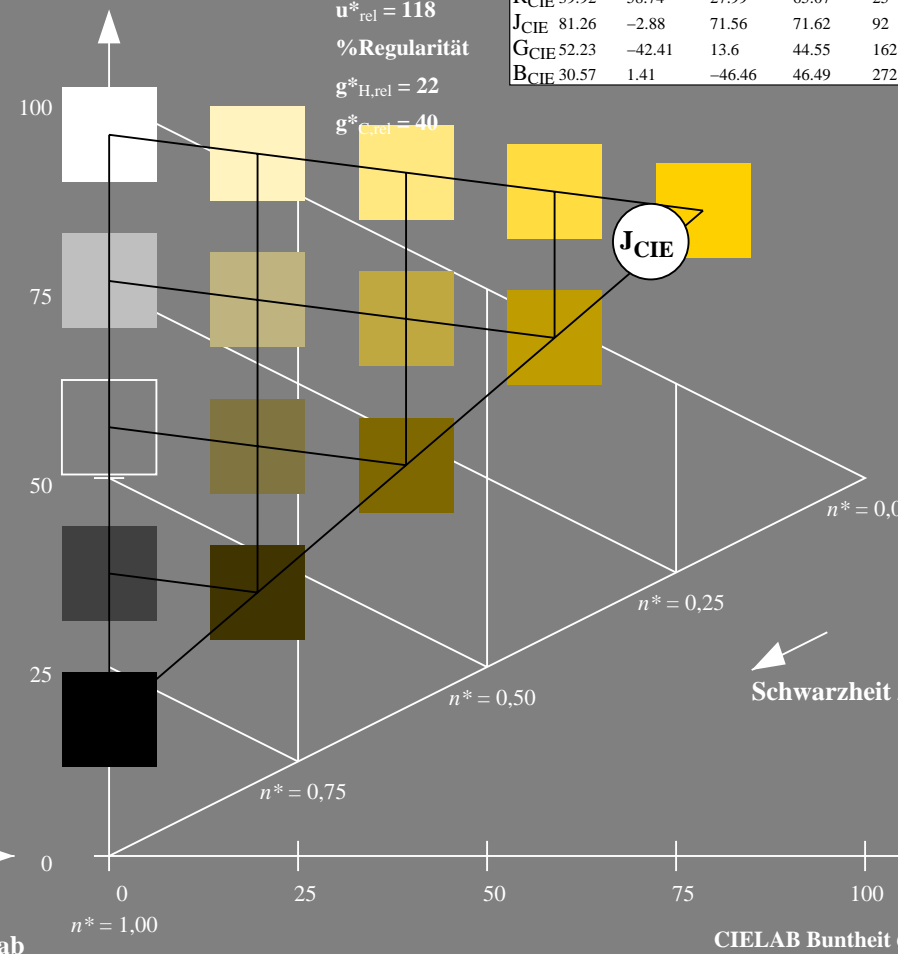
%Umfang

$u^*_{rel} = 118$

%Regularität

$g^*_{H,rel} = 22$

$g^*_{C,rel} = 40$



5 stufige Reihen für konstanten CIELAB Bunton 92/360 = 0.256 (rechts)

BAM-Prüfvorlage NG39; Farbmimetrische-Systeme TLS18 & TLS18 input: olv\* setrgbcolor

D65: Koordinatensysteme; 5stufige Farbreihen für 10 Bunttöne output: no change compared to input

Siehe ähnliche Dateien: <http://www.ps.bam.de/NG39/>  
 Technische Information: <http://www.ps.bam.de> Version 2.1, io=1,1

BAM-Registrierung: 20060101-NG39/10L/L39G07NP.PS/.PDF BAM-Material: Code=rh4ta  
 Anwendung für Beurteilung und Messung von Drucker- oder Monitorssystemen  
 /NG39/ Form: 8/10, Serie: 1/1, Seite: 8  
 Scherzhang 8



Eingabe: Farbmimetrisches Fernseh-Licht-System TLS18

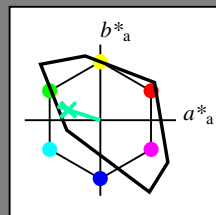
für Buntton  $h^* = lab^*h = 162/360 = 0.451$

LAB\*LCH, LAB\*NCH

D65: Buntton G

LCH\*Ma: 86 60 162

olv\*Ma: 0.0 1.0 0.64



TLS18; adaptierte CIELAB-Daten

	$L^* = L^*_a$	$a^*_a$	$b^*_a$	$C^*_{ab,a}$	$h^*_{ab,a}$
O <sub>Ma</sub>	52.76	71.63	49.88	87.29	35
Y <sub>Ma</sub>	92.74	-20.02	84.97	87.3	103
L <sub>Ma</sub>	84.0	-78.98	73.94	108.2	137
C <sub>Ma</sub>	87.14	-44.41	-13.11	46.32	196
V <sub>Ma</sub>	35.47	64.92	-95.06	115.12	304
M <sub>Ma</sub>	59.01	89.33	-55.67	105.26	328
N <sub>Ma</sub>	18.01	0.0	0.0	0.0	0
W <sub>Ma</sub>	95.41	0.0	0.0	0.0	0
R <sub>CIE</sub>	39.92	58.74	27.99	65.07	25
J <sub>CIE</sub>	81.26	-2.88	71.56	71.62	92
G <sub>CIE</sub>	52.23	-42.41	13.6	44.55	162
B <sub>CIE</sub>	30.57	1.41	-46.46	46.49	272

CIELAB-Helligkeit  $L^*$

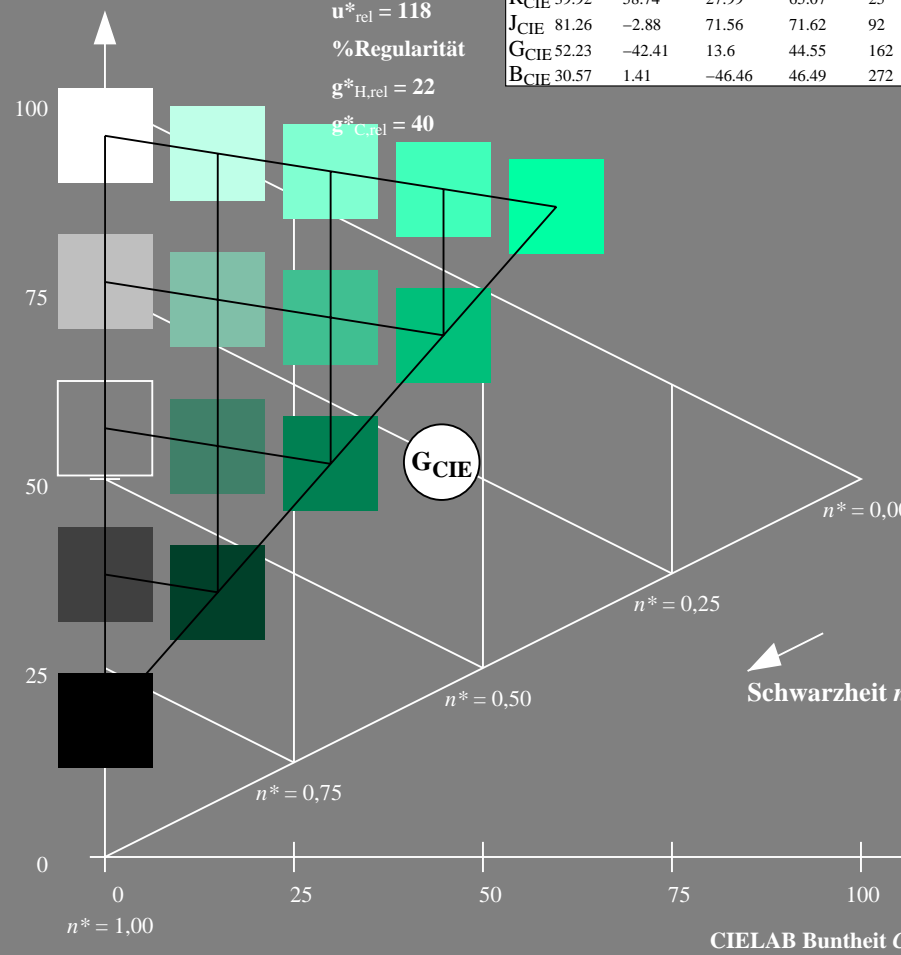
%Umfang

$u^*_{rel} = 118$

%Regularität

$g^*_{H,rel} = 22$

$g^*_{C,rel} = 40$



Ausgabe: Farbmimetrisches Fernseh-Licht-System TLS18

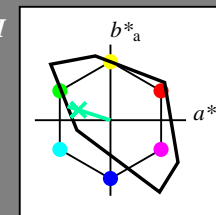
für Buntton  $h^* = lab^*h = 162/360 = 0.451$

LAB\*LCH, LAB\*NCH

D65: Buntton G

LCH\*Ma: 86 60 162

olv\*Ma: 0.0 1.0 0.64



TLS18; adaptierte CIELAB-Daten

	$L^* = L^*_a$	$a^*_a$	$b^*_a$	$C^*_{ab,a}$	$h^*_{ab,a}$
O <sub>Ma</sub>	52.76	71.63	49.88	87.29	35
Y <sub>Ma</sub>	92.74	-20.02	84.97	87.3	103
L <sub>Ma</sub>	84.0	-78.98	73.94	108.2	137
C <sub>Ma</sub>	87.14	-44.41	-13.11	46.32	196
V <sub>Ma</sub>	35.47	64.92	-95.06	115.12	304
M <sub>Ma</sub>	59.01	89.33	-55.67	105.26	328
N <sub>Ma</sub>	18.01	0.0	0.0	0.0	0
W <sub>Ma</sub>	95.41	0.0	0.0	0.0	0
R <sub>CIE</sub>	39.92	58.74	27.99	65.07	25
J <sub>CIE</sub>	81.26	-2.88	71.56	71.62	92
G <sub>CIE</sub>	52.23	-42.41	13.6	44.55	162
B <sub>CIE</sub>	30.57	1.41	-46.46	46.49	272

CIELAB-Helligkeit  $L^*$

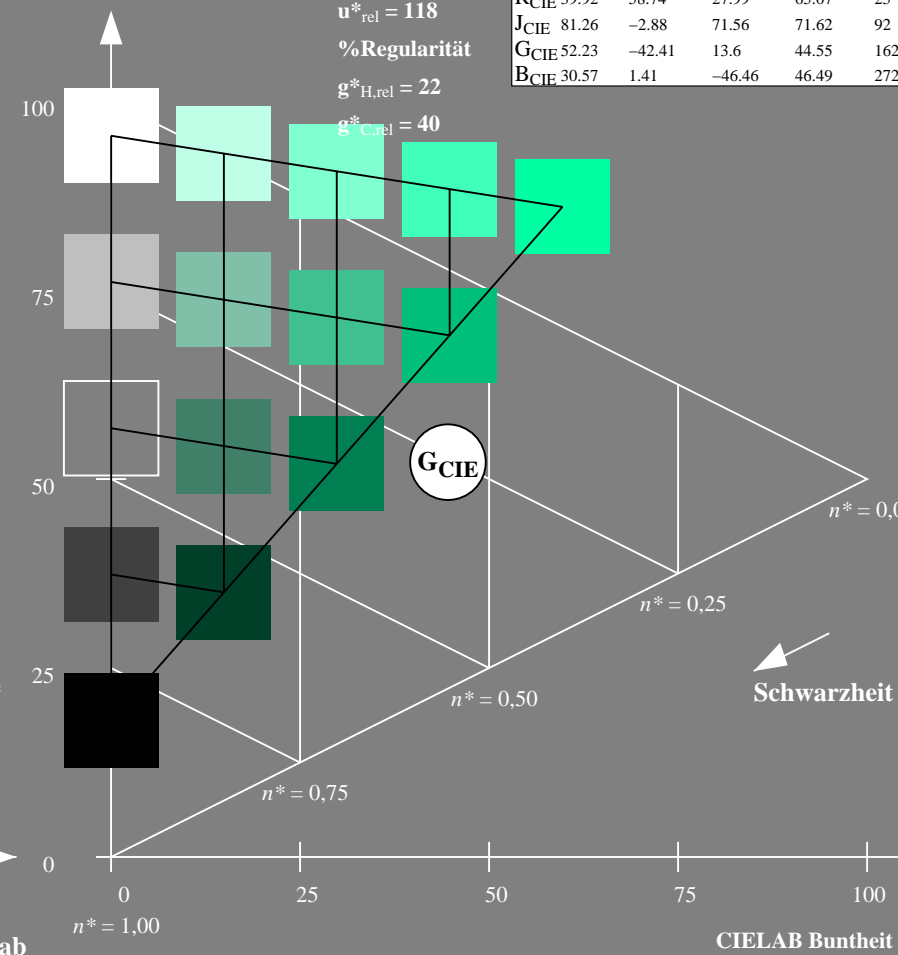
%Umfang

$u^*_{rel} = 118$

%Regularität

$g^*_{H,rel} = 22$

$g^*_{C,rel} = 40$



NG390-7, 5 stufige Reihen für konstanten CIELAB Buntton 162/360 = 0.451 (links)

5 stufige Reihen für konstanten CIELAB Buntton 162/360 = 0.451 (rechts)

BAM-Prüfvorlage NG39; Farbmimetrik-Systeme TLS18 & TLS18 input: olv\* setrgbcolor

D65: Koordinatensysteme; 5stufige Farbreihen für 10 Bunttöne output: no change compared to input

Eingabe: Farbmétrisches Fernseh-Licht-System TLS18

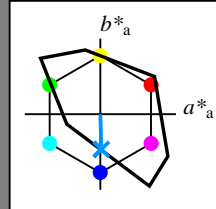
für Buntton  $h^* = lab^*h = 272/360 = 0.755$

LAB\*LCH, LAB\*NCH

D65: Buntton B

LCH\*Ma: 65 48 272

olv\*Ma: 0.0 0.58 1.0



TLS18; adaptierte CIELAB-Daten

	$L^* = L^*_a$	$a^*_a$	$b^*_a$	$C^*_{ab,a}$	$h^*_{ab,a}$
O <sub>Ma</sub>	52.76	71.63	49.88	87.29	35
Y <sub>Ma</sub>	92.74	-20.02	84.97	87.3	103
L <sub>Ma</sub>	84.0	-78.98	73.94	108.2	137
C <sub>Ma</sub>	87.14	-44.41	-13.11	46.32	196
V <sub>Ma</sub>	35.47	64.92	-95.06	115.12	304
M <sub>Ma</sub>	59.01	89.33	-55.67	105.26	328
N <sub>Ma</sub>	18.01	0.0	0.0	0.0	0
W <sub>Ma</sub>	95.41	0.0	0.0	0.0	0
R <sub>CIE</sub>	39.92	58.74	27.99	65.07	25
J <sub>CIE</sub>	81.26	-2.88	71.56	71.62	92
G <sub>CIE</sub>	52.23	-42.41	13.6	44.55	162
B <sub>CIE</sub>	30.57	1.41	-46.46	46.49	272

CIELAB-Helligkeit  $L^*$

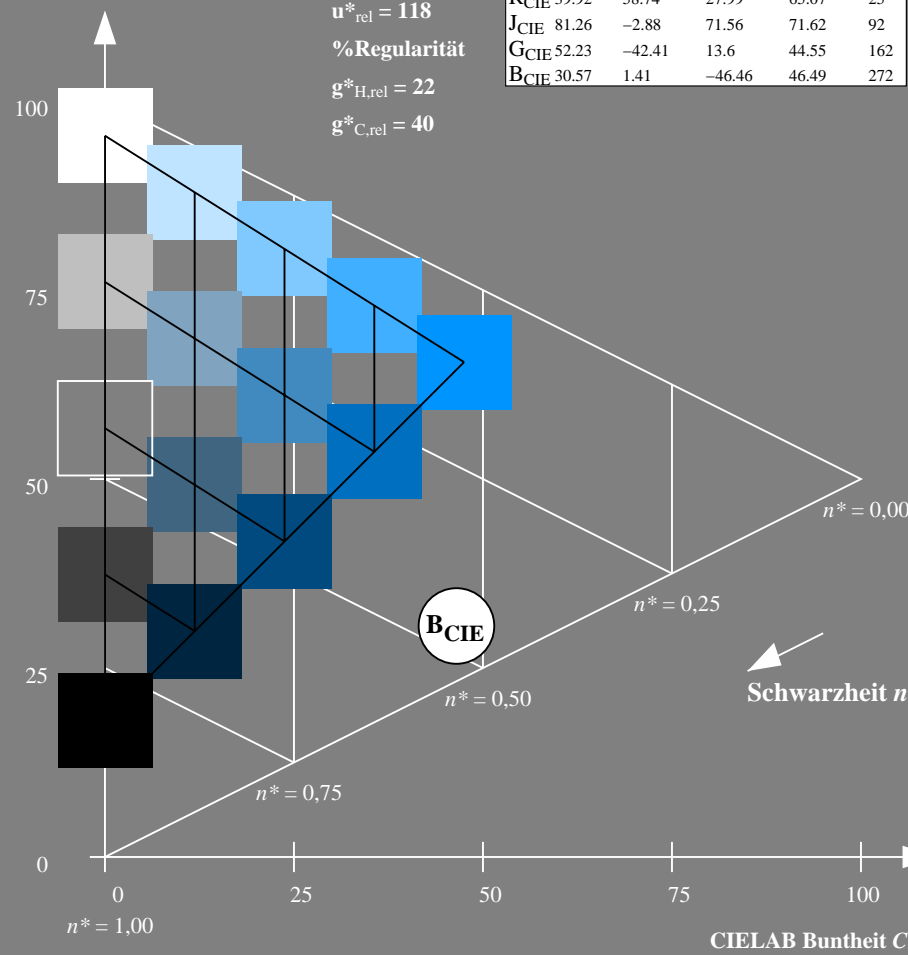
%Umfang

$u^*_{rel} = 118$

%Regularität

$g^*_{H,rel} = 22$

$g^*_{C,rel} = 40$



Ausgabe: Farbmétrisches Fernseh-Licht-System TLS18

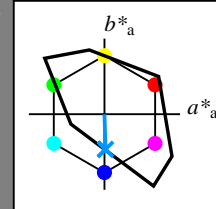
für Buntton  $h^* = lab^*h = 272/360 = 0.755$

LAB\*LCH, LAB\*NCH

D65: Buntton B

LCH\*Ma: 65 48 272

olv\*Ma: 0.0 0.58 1.0



TLS18; adaptierte CIELAB-Daten

	$L^* = L^*_a$	$a^*_a$	$b^*_a$	$C^*_{ab,a}$	$h^*_{ab,a}$
O <sub>Ma</sub>	52.76	71.63	49.88	87.29	35
Y <sub>Ma</sub>	92.74	-20.02	84.97	87.3	103
L <sub>Ma</sub>	84.0	-78.98	73.94	108.2	137
C <sub>Ma</sub>	87.14	-44.41	-13.11	46.32	196
V <sub>Ma</sub>	35.47	64.92	-95.06	115.12	304
M <sub>Ma</sub>	59.01	89.33	-55.67	105.26	328
N <sub>Ma</sub>	18.01	0.0	0.0	0.0	0
W <sub>Ma</sub>	95.41	0.0	0.0	0.0	0
R <sub>CIE</sub>	39.92	58.74	27.99	65.07	25
J <sub>CIE</sub>	81.26	-2.88	71.56	71.62	92
G <sub>CIE</sub>	52.23	-42.41	13.6	44.55	162
B <sub>CIE</sub>	30.57	1.41	-46.46	46.49	272

CIELAB-Helligkeit  $L^*$

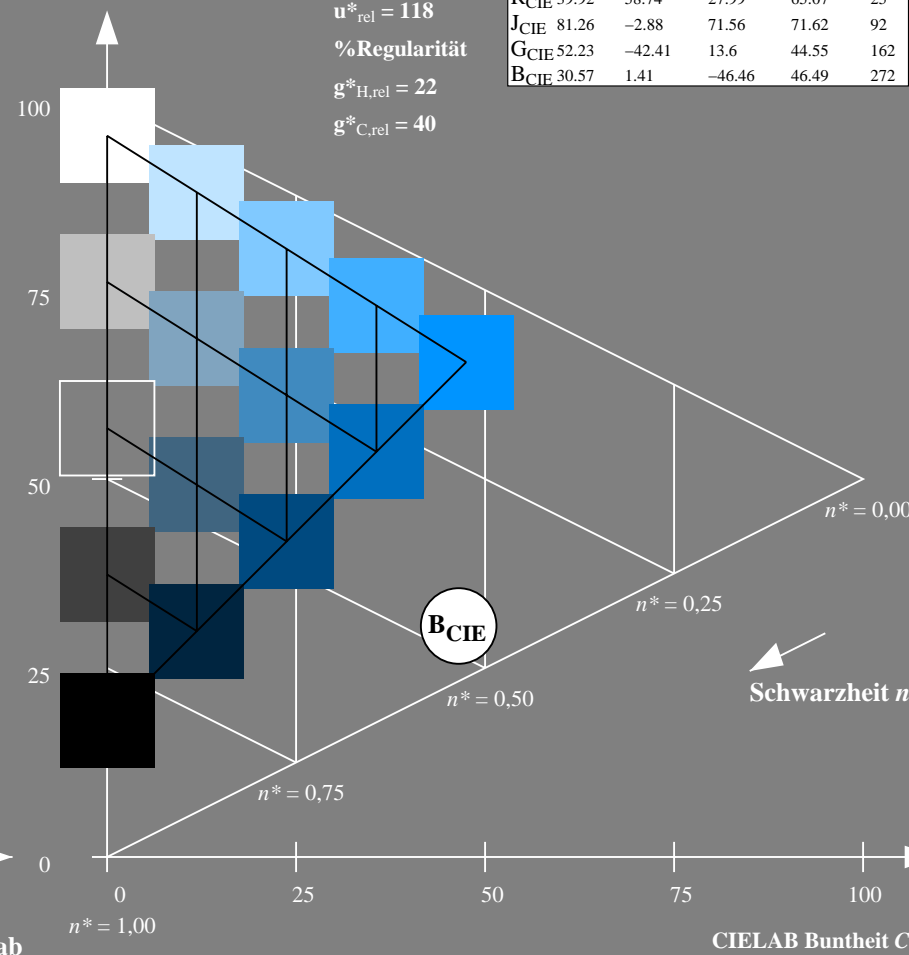
%Umfang

$u^*_{rel} = 118$

%Regularität

$g^*_{H,rel} = 22$

$g^*_{C,rel} = 40$



NG390-7, 5 stufige Reihen für konstanten CIELAB Buntton  $272/360 = 0.755$  (links)

5 stufige Reihen für konstanten CIELAB Buntton  $272/360 = 0.755$  (rechts)

BAM-Prüfvorlage NG39; Farbmétrik-Systeme TLS18 & TLS18 input: olv\* setrgbcolor

D65: Koordinatensysteme; 5stufige Farbreihen für 10 Bunttöne output: no change compared to input